

شکافت فوتوکاتالیتیکی آب برای تولید هیدروژن

مونس حکمی زاده^۱، شهرآرا افشار^{۱*}، آزاده تجردی^۱، سید مجید هاشمیان زاده^۱، محمد رضا فدایی^۲ و بابک بزرگی^۲

^۱ دانشکده شیمی، دانشگاه علم و صنعت ایران، تهران، ایران

^۲ شرکت پژوهش و فناوری پتروشیمی، تهران، ایران

تاریخ پذیرش: ۹۲/۰۹/۲

تاریخ تصحیح: ۹۲/۰۸/۱۱

تاریخ دریافت: ۹۲/۰۶/۱۶

چکیده:

شکافت آب با استفاده از نور و یک نیمه هادی یکی از روش های جدید تولید هیدروژن است که به علت سادگی و ارزانی امروزه توجه زیادی را به خود جلب کرده است. در این تحقیق، تولید فوتوکاتالیتیکی هیدروژن با استفاده از فوتوکاتالیست نانو ذره $Pt/75\%wt/TiO_2$ در نور فرابنفش بررسی شد. این نانو ذره با استفاده از روش سل-تل سنتر شده و نشاندن Pt به روش رسوب نوری (*Photodeposition*) انجام گردید. اثر پلاتین به عنوان کمک کاتالیست و مтанول به عنوان ماده فدا شونده بر راندمان تولید هیدروژن بررسی شدند. این نانو ذره با استفاده از روش های *ICP DRS XRD* و *ICP DRS XRD* جذب و واجذب نیتروژن تعیین مشخصات شد. نتایج آزمایشات فوتوکاتالیتیکی نشان می دهد که حضور پلاتین و مтанول روی تولید هیدروژن اثر مثبت داشته اند. سرعت تولید هیدروژن توسط این نانو ذره نسبت به نمونه تجاری (P25) در همان شرایط مقایسه شد. سرعت تولید هیدروژن در مدت ۳ ساعت تابش نور فرابنفش به ۸۷ میلی لیتر در ساعت به ازاء ۱ گرم فوتوکاتالیست رسید که نسبت به نمونه تجاری P25 ۴۳ برابر است.

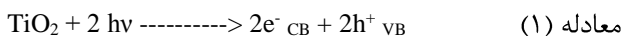
واژگان کلیدی: شکافت آب، TiO_2 ، تولید هیدروژن، فوتوکاتالیست.

۱- مقدمه:

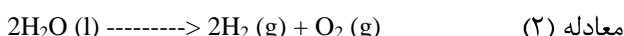
هیدروژن عمدۀ ترین گزینه مطرح به عنوان حامل جدید انرژی است. این ماده در مقایسه با سایر سوخت ها می تواند با راندمانی بالاتر و احتراق بسیار پاک به سایر اشکال انرژی تبدیل شود (۱۲۲kJ/g) [۱]. با توجه به اینکه امروز یکی از مشکلات بزرگ جهان انتشار مواد آلاینده حاصل از سوخت های فسیلی است، هیدروژن در این بخش نیز دارای مزایای نسبی است. لذا با توجه به نکات مثبت زیست محیطی، اقتصادی و قوانین وضع شده، جهان امروز به سمت توسعه پایدار با استفاده از انرژی هیدروژنی سوق داده می شود. اگر سوخت هیدروژن از منابع انرژی پاک و تجدید پذیر تولید شود، چرخه این سوخت در طبیعت نیز پاک و تجدید پذیر خواهد شد. امروزه هیدروژن را می توان از فرآیندهایی همچون الکترولیز آب، رفورمینگ گاز طبیعی و اکسیداسیون جزئی سوخت های فسیلی بدست آورد [۲]. در حال حاضر بیش از ۹۰ درصد از کل هیدروژن تولیدی در جهان از سوخت های فسیلی بدست می آید و بیشترین مصرف هیدروژن در صنایع نفت و پالایش است. البته این روش های تولید همراه مصرف انرژی و یا تولید مقدار زیادی گاز آلاینده CO_2 است [۲]. شکافت فوتوکاتالیتیکی آب با استفاده از یک منبع تجدید پذیر مانند نور خورشید، آب به عنوان ماده فراوان در طبیعت و استفاده از یک نیمه هادی به عنوان فوتوکاتالیست یک

روش امید بخش برای تولید پاک، ارزان و دوستدار محیط زیست هیدروژن است [۳]. در این روش مولکول های آب روی یک فتوکاتالیست (نیمه هادی) در حضور فوتون شکافته شده و تبدیل به H_2 و O_2 می شوند [۴]. از نظر ترمودینامیکی شکافت آب به H_2 و O_2 یک واکنش گرمائیک است ($\Delta G = 237 \text{ kJ/mol}$) و به مقدار زیادی گرما نیاز دارد.

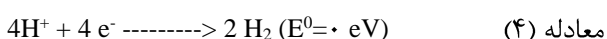
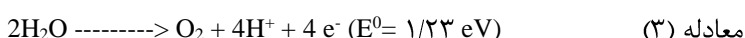
زمانیکه نور با انرژی مساوی یا بزرگتر از بند گپ به سطح نیمه هادی مانند TiO_2 بتابد الکترون ها و حفره ها به ترتیب در نوار هدایت و ظرفیت تشکیل می شوند.



این الکترون ها و حفره ها واکنش های اکسیداسیون و احیا مانند الکتروولیز را باعث می شوند. مولکول های آب توسط الکترون ها به H_2 احیا شده و بوسیله حفره ها به O_2 اکسید می شوند و بدین ترتیب واکنش کلی شکافت آب شکل می گیرد:



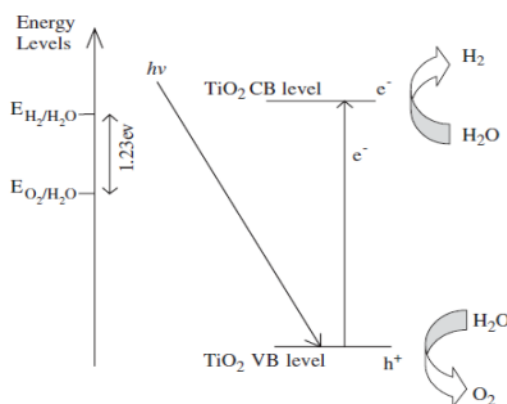
این واکنش از دو نیم واکنش تشکیل شده است:



برای انجام این واکنش شرایطی لازم است. از جمله نیمه هادی مورد استفاده باید بند گپ بیشتر از $1/23 \text{ eV}$ داشته باشد.

همچنین پایین ترین حد نوار هدایت باید از پتانسیل احیا هیدروژن منفی تر و بالا ترین حد نوار ظرفیت باید از پتانسیل اکسیداسیون O_2/H_2O یعنی $1/23 \text{ eV}$ مثبت تر باشد [۴].

شکل ۱ اصول شکافت آب را نشان می دهد [۴].



شکل ۱: اصول شکافت آب.

یکی از مسائل مهم در استفاده از این روش بالا بردن راندمان تولید هیدروژن است. چندین عامل وجود دارد که روی راندمان تولید هیدروژن اثر می گذارند. یکی از این عوامل باز ترکیب الکترون ها و حفره ها در فتوکاتالیست است که موجب عدم دستیابی پروتون ها به الکترون ها و در نتیجه کاهش تولید هیدروژن می شود. گزارش شده است که نشاندن بعضی از

فلزات نظیر پلاتین، باز ترکیب را کاهش داده است. پلاتین مانند یک تله الکترون‌ها را به دام می‌اندازد و از ترکیب مجدد آنها با حفره جلوگیری کرده و فعالیت فتوکاتالیستی را زیاد می‌کند [۵]. از طرفی کاتالیست خوبی برای تولید هیدروژن است. پلاتین یک فلز است و هادی الکترون و الکترون‌های موجود در سطح پلاتین در دسترس پروتون‌ها قرار می‌گیرند. این کار باعث افزایش راندمان تولید هیدروژن می‌شود [۶]. عامل دیگری که روی راندمان تولید هیدروژن تاثیر گذار است، واکنش برگشتی تولید آب است. واکنش برگشتی تولید آب از نظر ترمودینامیکی مطلوب است. از طرفی پلاتین نیز کاتالیزور خوبی برای ترکیب H_2 و O_2 و تولید آب است [۷]. برای کاهش پیشرفت این واکنش، از مواد فدا شونده مانند متانول استفاده می‌شود تا با ترکیب سریع با حفره هم از باز ترکیب الکترون و حفره و هم از واکنش آب با حفره و تولید اکسیژن جلوگیری شود [۵]. در کار حاضر نانو ذره TiO_2 به روش سل-ژل سنتز شد. ذرات Pt به صورت فلزی و به روش رسوب نوری روی سطح TiO_2 نشانده شدند. بررسی فتوکاتالیستی این نانو ذره در تخریب رنگدانه و تولید هیدروژن انجام شد. همچنین اثر پلاتین به عنوان کاتالیست و متانول به عنوان ماده فدا شونده در بالا بردن راندمان تولید هیدروژن بررسی شده‌اند.

۲-بخش تجربی:

۱-۲-مواد شیمیایی و معرفه‌ها:

تیتانیوم تترا ایزوپروپوکساید (TTIP) به عنوان پیش ماده فلزی، ایزوپروپیل الکل، متانول، نیتریک اسید، رنگدانه مالاکیت گرین و هگزا کلروپلاتینات همگی از شرکت مرک آلمان خریداری شد. تیتانیوم اکساید تجاری P25 از شرکت دگوسا، آب دیونیزه و گاز نیتروژن با خلوص ۹۹٪/۹۹ نیز استفاده شد.

۲-دستگاه‌های تعیین مشخصات:

ساختار کریستالی فتوکاتالیست‌ها با استفاده از روش پراش اشعه X (XRD) بر روی دستگاه با مشخصات Philips PW1800 ، تابش Cu K α ، ۴۰ mA ، ۴۰ Kv شناسایی شد. طیف‌های بازتابش پراکنده (DRS) با استفاده از یک دستگاه Shimadzu، Mini 1240 برای بررسی جذب فتوکاتالیست‌ها در ناحیه فرابنفش و مرئی گرفته شدند. ایزوترم‌های جذب و واجدب نیتروژن بر روی دستگاه BELSORP Mini II بررسی گردید و مساحت سطح به روش BET اندازه گیری شد. با استفاده از روش ICP و دستگاه ICP-OESVISTA-PRO مقدار پلاتین بدست آمدند.

۳-۲-روش سنتز فتوکاتالیست نانو ذره Pt/TiO_2

در ابتدا ۲۵ میلی لیتر ایزو پروپیل الکل و ۳/۷ میلی لیتر TTIP به عنوان محلول اول و ۲۵ میلی لیتر ایزو پروپیل الکل و ۵ میلی لیتر آب دیونیزه به عنوان محلول دوم به مدت ۱ ساعت جداگانه هم زده می‌شوند. سپس محلول دوم قطره قطره به

محلول اول در حین هم زدن اضافه می شود. با استفاده از روتاری تبخیری الكل جدا و تا حجم ۵۰ میلی لیتر به آن آب اضافه شده و pH محلول با استفاده از نیتریک اسید ۱/۰ مولار در ۱/۵ تنظیم می شود. این محلول به مدت ۱/۵ ساعت تحت امواج صوتی قرار گرفته و سپس به مدت ۲۴ ساعت رفلاکس می شود. پس از خشک شدن سل در دمای محیط، در دمای ۴۰۰ درجه سانتی گراد به مدت ۲ ساعت کلسینه شد. از روش رسوب شیمیایی برای بارگذاری پلاتین استفاده شد. برای این منظور مقدار لازم از هیدروژن کلروپلاتینات محلول در متانول آبی ۱ درصد، در ۵۰ میلی لیتر محلول ۱ درصد متانول پس از عبور گاز نیتروژن ریخته شد. این محلول در حضور گاز نیتروژن و تابش لامپ ۲۵۰ وات بخار جیوه به مدت ۵ ساعت هم زده شد. پس از شستشو با آب دیونیزه و خشک کردن در دمای ۱۱۰ درجه سانتی گراد به مدت ۱ شب، در دمای ۲۰۰ درجه سانتی گراد کلسینه گردید.

۴-۲-آزمایشات فوتوكاتالیستی:

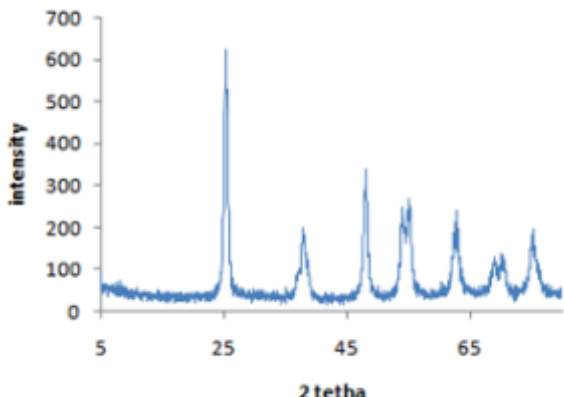
تولید فوتوكاتالیتیکی هیدروژن در یک راکتور ۴۰ میلی لیتری پیرکس طراحی شده در آزمایشگاه که حاوی یک محلول ۱۰ درصد حجمی متانول و ۱/۵ گرم فوتوكاتالیست بود در یک حمام آب، تحت تابش نور فرابنفش (لامپ بخار جیوه) انجام شد. قبل از شروع آزمایش، محلول برای حدود ۳۰ دقیقه توسط گاز نیتروژن هوایی شد. مقدار هیدروژن تولید شده به صورت آن لاین توسط دستگاه کروماتوگرافی گازی (FRGA, Agilent 7890A) مجهز به دتکتور TCD و ستون مولکولار سیو ۵A اندازه گیری شد. نمونه گیری از گاز هر یک ساعت یک بار به صورت اتوماتیک توسط دستگاه انجام شد. برای مقایسه، تولید هیدروژن فوتوكاتالیست TiO_2 تجاری، (P25) نیز تحت همین شرایط انجام شد.

تخریب فوتوكاتالیستی محلول ppm ۱رنگدانه مالاکیت گرین با غلظت ۱ گرم در لیتر از فوتوكاتالیست تحت تابش نور فرابنفش توسط یک لامپ ۲۵۰ وات بخار جیوه در حمام آب انجام شد. جذب محلول با استفاده از دستگاه طیف بینی مایع Shimadzu, Mini 1240 single beam اندازه گیری شد.

۳-نتایج و بحث:

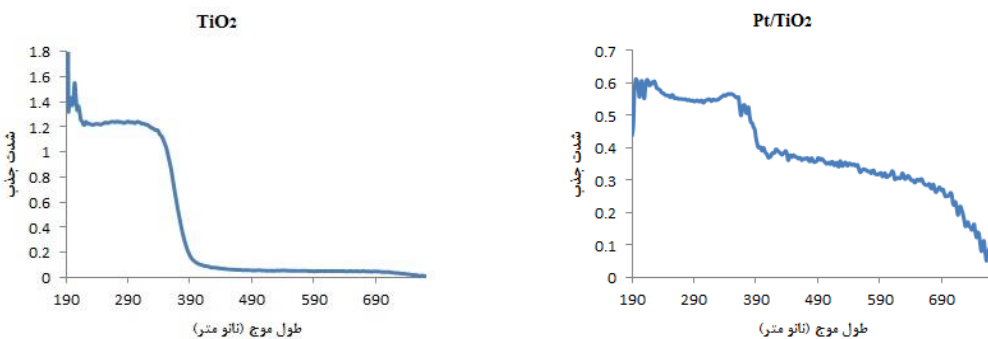
۳-۱- تعیین مشخصات فوتوكاتالیست:

به منظور شناسایی فاز TiO_2 تشکیل شده و تعیین اندازه ذره فوتوكاتالیست، الگوی های پراش اشعه X فوتوكاتالیست بررسی شد. شکل ۲ این الگو را نشان می دهد.



شکل ۲: الگوی پراش اشعه X فوتوكاتالیست نانو ذره $\text{Pt}(0.75\text{ wt})/\text{TiO}_2$ پیک‌های موجود در 2θ معادل $25/0.7^\circ$ ، $37/8.5^\circ$ و $48/0.7^\circ$ مربوط به ساختار کریستالی TiO_2 آناتاز است [۳]. هیچ پیکی مربوط به پلاتین مشاهده نمی‌شود که علت آن احتمالاً کم بودن مقدار درصد پلاتین است [۸]. اندازه ذرات توسط معادله شرر ۱۱ نانومتر محاسبه شد.

به منظور بررسی جذب فوتوكاتالیست‌های سنتر شده در نواحی مرئی و فرابنفش و همچنین اثر نشاندن پلاتین، طیف DRS گرفته شد. شکل ۳ طیف‌های جذبی فوتوكاتالیست‌های TiO_2 و $\text{Pt}(0.75\text{ wt})/\text{TiO}_2$ را نشان می‌دهد.

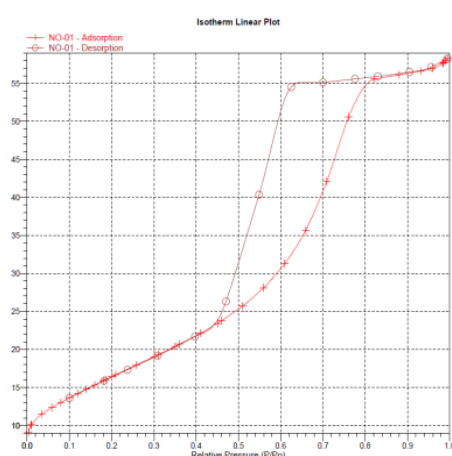


شکل ۳: طیف‌های DRS فوتوكاتالیست‌های $\text{Pt}(0.75\text{ wt})/\text{TiO}_2$ و TiO_2 نانو ذرات TiO_2 در ناحیه فرابنفش در کمتر از ۳۹۰ نانو متر جذب دارند و در ناحیه مرئی (بالای ۴۰۰ نانو متر) جذب ندارند. تشکیل نانو ذرات پلاتین را می‌توان از روی طیف‌های DRS اثبات کرد. گزارش شده است که نانو ذرات پلاتین دارای DRS جذب در تمام نواحی فرابنفش و مرئی هستند و مقدار این جذب با افزایش طول موج کاهش می‌یابد [۹]. طیف DRS فوتوكاتالیست $\text{Pt}(0.75\text{ wt})/\text{TiO}_2$ جذب زمینه‌ای چشمگیری را در ناحیه مرئی نسبت به TiO_2 نشان می‌دهد. این جذب می‌تواند به علت حضور نانو ذرات PtCl_6^{2-} در روش رسوب نوری تشکیل شده‌اند. از طرفی جابجایی قرمز و تغییر بند گپ در این فوتوكاتالیست‌ها مشاهده نمی‌شود. این نشان می‌دهد که ذرات پلاتین در شبکه تیتانیا وارد نشده‌اند و در سطح تیتانیا رسوب کرده‌اند و این همان نتیجه‌ای است که برای تولید هیدروژن نیاز است. برای تولید هیدروژن رسوب

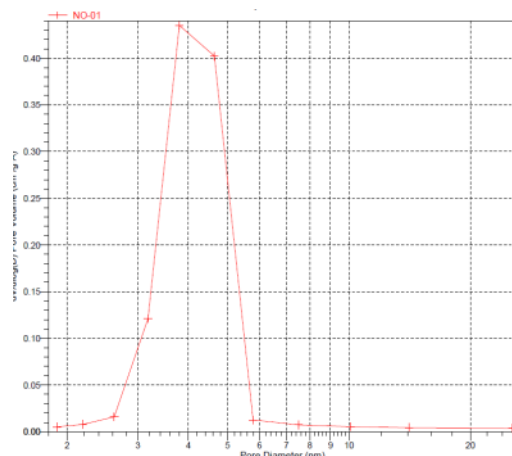
پلاتین در سطح بهتر از وارد شدن آن در شبکه است زیرا پلاتین محل ترکیب پروتون های ایجاد شده در محلول با الکترون های رسیده به سطح تیتانیا است و باید با محلول در تماس باشد [۱۰].

برای بررسی تخلخل، اندازه حفرات و مساحت سطح فوتوكاتالیست $\text{Pt}(0.75\% \text{wt})/\text{TiO}_2$ ایزوترم جذب و واجدب نیتروژن گرفته شد. شکل ۴ ایزوترم جذب و واجدب و نمودار BJH این فوتوكاتالیست را نشان می دهد.

الف



ب

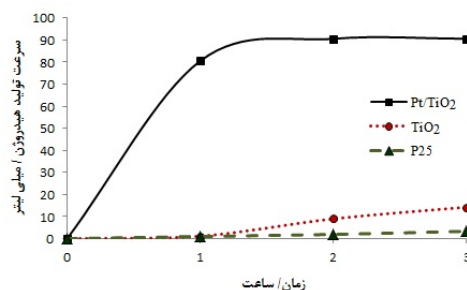


شکل ۴: ایزوترم جذب و واجدب نیتروژن (الف) و نمودار BJH (ب) فوتوكاتالیست $\text{Pt}(0.75\% \text{wt})/\text{TiO}_2$

ایزوترم، الگوی نوع IV که مطابق با طبقه بندی ایوپاک مربوط به ساختار مزو است را نشان می دهد. همچنین حلقه پسماند این ایزوترم که دارای شکل مثلثی و یک شاخه واجدب سراشیب است، از نوع H2 است که اغلب نتیجه حضور تخلخل هایی با دهانه باریک جوهر دان است. داده های حاصل از نمودار BJH، میانگین اندازه حفرات را ۴ نانومتر نشان می دهد. مساحت سطح این کاتالیزور در حدود $58 \text{ m}^2 \text{g}^{-1}$ است.

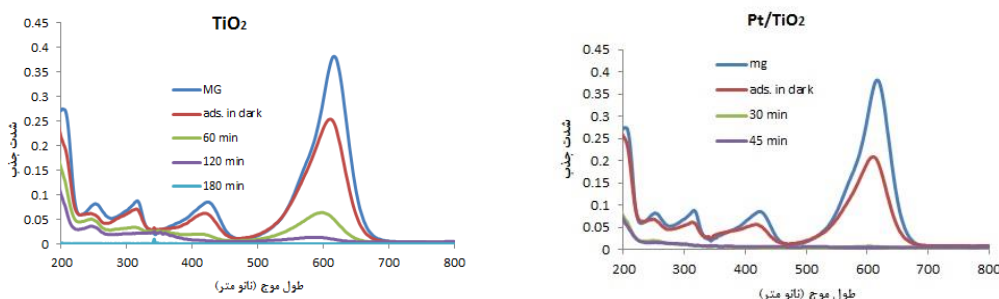
۲-۳- بررسی فوتوكاتالیستی و تولید هیدروژن:

شکل ۵ مقدار هیدروژن تولید شده به ازاء ۱ گرم از فوتوكاتالیست های $\text{Pt}(0.75\% \text{wt})/\text{TiO}_2$, TiO_2 و P25 در حضور متانول را نشان می دهد. سرعت تولید هیدروژن برای این فوتوكاتالیست ها به ترتیب $87 \text{ mLh}^{-1}\text{g}^{-1}$, $8 \text{ mLh}^{-1}\text{g}^{-1}$ و $2 \text{ mLh}^{-1}\text{g}^{-1}$ است.



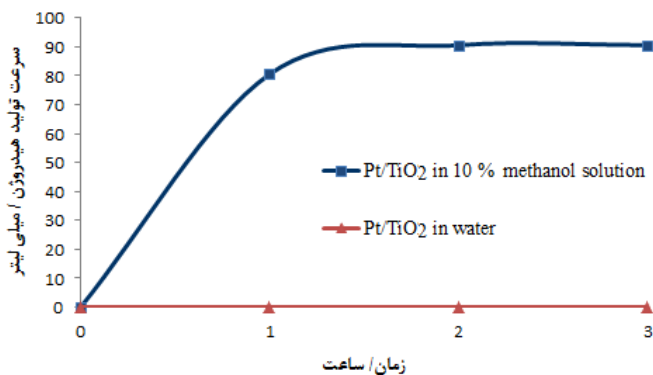
شکل ۵: مقدار هیدروژن تولید شده به ازاء یک گرم فوتوكاتالیست $\text{Pt}(0.75\% \text{wt})/\text{TiO}_2$ و $\text{P}25$ در حضور متانول.

همان طور که ملاحظه می شود، فتوکاتالیست $\text{Pt}(0)/\text{TiO}_2/\text{TiO}_2$ بهترین نتیجه را نسبت به فتوکاتالیست های دیگر در تولید هیدروژن داشته است. راندمان تولید هیدروژن در حضور این فتوکاتالیست حدود ۱۱ برابر بیشتر از فتوکاتالیست نانو ذره TiO_2 است. همچنین این فتوکاتالیست افزایش ۴۳ برابری در تولید هیدروژن نسبت به فتوکاتالیست تجاری P25 از خود نشان می دهد. علت این است که فلزات نجیب نظیر پلاتین، سطح فرمی پایین تر از TiO_2 دارند. در این حالت الکترون های تهییج شده در نوار هدایت می توانند به ذرات پلاتین فلزی انتقال پیدا کنند در حالیکه حفره های تولید شده در نوار والانس روی ذرات TiO_2 می مانند. این کار باعث جدا شدن موثر الکترون ها و حفره ها و کاهش باز ترکیب و در نتیجه افزایش فعالیت فتوکاتالیستی می شود[۶]. مقایسه فعالیت فتوکاتالیستی $\text{TiO}_2/\text{TiO}_2/\text{Pt}(0)/\text{TiO}_2$ در تخریب رنگدانه مالاکیت گرین به خوبی این اثر را نشان می دهد. سرعت تخریب فتوکاتالیستی رنگدانه مالاکیت گرین با استفاده از فتوکاتالیست دارای پلاتین چهار برابر بیشتر از سرعت تخریب توسط فتوکاتالیست بدون پلاتین است. شکل ۶ طیف های جذبی رنگدانه مالاکیت گرین در زمان های مختلف هنگام تخریب با این فتوکاتالیست ها را نشان می دهد. همان طور که ملاحظه می شود مدت زمان تخریب با استفاده از فتوکاتالیست TiO_2 ۱۸۰ دقیقه و در حضور پلاتین این مقدار به ۴۵ دقیقه کاهش می یابد.



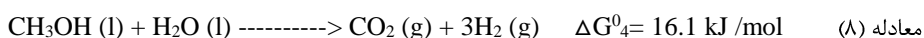
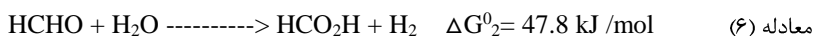
شکل ۶ تخریب فتوکاتالیستی مالاکیت گرین.

همچنین پلاتین به عنوان فلز می تواند الکترون ها را هدایت کند. بنابراین الکترون های تولید شده می توانند از این طریق به سطح منتقل شده و روی پلاتین جمع شوند. از طرفی پروتون ها نیز می توانند از طریق هدایت پروتونی به سمت پلاتین منتقل شوند. در واقع پلاتین الکترون ها و پروتون ها را برای تولید هیدروژن متمرکز کرده و بدین ترتیب تولید هیدروژن افزایش می یابد [۱۰]. لازم به ذکر است که در ابتدا بهینه سازی درصد پلاتین انجام شد. برای این کار فتوکاتالیست های نانو ذره TiO_2 با درصد های وزنی $0.0/5$ ، $0.0/75$ و 1 از Pt نسبت به TiO_2 سنتز و مقدار هیدروژن تولیدی اندازه گیری شد. بهترین درصد وزنی پلاتین نسبت به TiO_2 بدست آمد. مقدار پلاتین در فتوکاتالیست ها به روش ICP تعیین می شود. برای بررسی اثر متابول روی راندمان تولید هیدروژن، آزمایشی بدون حضور متابول و فقط در آب انجام شد. شکل ۷ این نتایج را نشان می دهد. همان طور که ملاحظه می شود، هیدروژن تولید نشده است.



شکل ۷: مقدار هیدروژن تولید شده توسط فوتوكاتالیست Pt/TiO₂(۰٪/wt) در محلول ۱۰ درصد متانول و آب.

این نتیجه نشان می دهد که مтанول اثر قابل ملاحظه ای روی تولید هیدروژن دارد. مтанول به عنوان یک پذیرنده حفره عمل می کند چون به سرعت با حفره واکنش می دهد. معادلات نشان می دهد که شکافت مтанول در مقایسه با آب نیاز به انرژی کمتری (۱۶/۱ kJ/mol) دارد. برای شکافت مтанول حدود ۰/۷ eV لازم است در حالیکه برای شکافت آب ۱/۲۳ eV لازم است [۱۱]. بنابراین مтанول زودتر از آب توسط حفره اکسید می شود. این عمل باعث بالا رفتن طول عمر الکترون و حفره شده و از باز ترکیب سریع آنها جلوگیری کرده و باعث افزایش فعالیت فوتوكاتالیستی می شود. همچنین مтанول نقش مستقیم در بالا بردن راندمان تولید هیدروژن نیز دارد. زیرا در اثر واکنش مтанول با حفره، از واکنش آب با حفره و در نتیجه تولید O₂ جلوگیری می شود. یکی از مواردی که باعث کاهش تولید هیدروژن می شود، ترکیب دوباره O₂ و H₂ و تشکیل آب است. فلز Pt به عنوان کاتالیست هم واکنش تولید هیدروژن و هم واکنش ترکیب مجدد O₂ و H₂ و تولید آب را کاتالیز می کند. بنابراین حضور اکسیژن راندمان تولید هیدروژن را پایین می آورد. معادلات زیر نشان می دهد که چگونه مтанول به جای آب با حفره واکنش داده و از تشکیل اکسیژن جلوگیری کرده و در نتیجه واکنش برگشتی تولید آب را کاهش می دهد [۱۲].



مтанول در آخر به هیدروژن و دی اکسید کربن تبدیل می شود. بنابراین هیدروژن در هر سه مرحله تولید می شود و بدین ترتیب راندمان تولید هیدروژن به علت جلوگیری از واکنش آب با حفره افزایش می یابد.

۴- نتیجه گیری:

فوتوكاتالیست نانو ذره $\text{Pt}(0/75\% \text{wt})/\text{TiO}_2$ به روش سل-ژل سنتز شد. بار گذاری پلاتین فلزی به روش رسوب نوری روی سطح TiO_2 انجام گردید. اثر پلاتین به عنوان کمک کاتالیست و مтанول به عنوان ماده فدا شونده در بالا بردن راندمان تولید هیدروژن بررسی شد. نتایج آزمایشات فوتوكاتالیتیکی نشان داد که پلاتین به علت جلوگیری از باز ترکیب الکترون‌ها و حفره‌ها، خاصیت فوتوكاتالیستی و در نتیجه تولید هیدروژن افزایش داده است. همچنین با کاتالیز کردن تشکیل هیدروژن، باعث افزایش راندمان تولید هیدروژن شده است. مтанول نیز به علت جلوگیری از باز ترکیب الکترون‌ها و حفره‌ها و همچنین کاهش واکنش برگشتی تولید آب، تولید هیدروژن را افزایش داده است. سرعت تولید هیدروژن توسط فوتوكاتالیست در ۳ ساعت تابش نور فرایند به $87 \text{ میلی لیتر بر حسب ۱ گرم}$ فوتوكاتالیست در ساعت رسید که نسبت به نمونه‌های بدون پلاتین ۱۱ برابر بیشتر است. همچنین نسبت به نمونه فوتوكاتالیست TiO_2 تجاری، P25 افزایش ۴۳ برابر را نشان می‌دهد.

۵- مراجع:

- [1] S. K. Han and H. S. Shin, *Int. J. Hydrogen Energy*, **29** (1972) 569.
- [2] K. H. Hou and R. Hughes, *Chem. Eng. J.* **82** (2001) 311.
- [3] D. B. Levin, P. Lawrence and L. Murray, *Int. J. Hydrogen Energy* **29** (2004) 173.
- [4] A. Kudo, *Catalysis Surveys from Asia*, **7** (2003) 31.
- [5] M. Ni, M.K.H. Leung, D.Y.C. Leung and K. Sumathy, *Renewable and Sustainable Energy Reviews*, **11** (2007) 401.
- [6] X. Chen, S. Shen, L. Guo and S.S. Mao, *Chem. Rev.* **110** (2010) 6503
- [7] J. Zhu and M. Zäch, *Curr. Opin. Colloid Interface Sci.* **14** (2009) 260.
- [8] K. Selvam and M. Swaminathan, *Bull. Chem. Soc. Jap.* **84** (2011) 953.
- [9] W. Yang, Y. Ma, J. Tang and X. Yang, *Colloids and Surfaces A: Physicochem. Eng. Aspects*, **302** (2007) 628.
- [10] R. Abe, K. Sayama and H. Arakawa, *Chem. Phys. Lett.* **371** (2003) 360.
- [11] Y. Kuo and K. J Klabunde, *Nanotechnology* **23** (2012) 1.
- [12] H. Yi, T. Peng, D. Ke, D. Ke, L. Zan and C. Yan. *Int. J. Hydrogen Energy*, **33** (2008) 672.

